

安徽淮南发现伊族真缘吸虫

王克霞 朱玉霞 宋福春

摘要 对淮南市上窑镇沿岸居民饲养家犬寄生蠕虫的调查,在家犬盲肠内发现了3条虫体,经形态学鉴定为伊族真缘吸虫。

关键词 伊族真缘吸虫 家犬 安徽

中图分类号 R532.29 **文献标识码** A **文章编号** :1009-9727(2012)10-1254-02

Euparyphium ilocanum in Huainan area. WANG Ke-xia, ZHU Yu-xia, SONG Zhu-chun. (Anhui University of Science and Technology, Huainan 232001, Anhui, P.R.China)

Abstract: The adult worms of *Euparyphium ilocanum* were found in the cecum of domesticated dog unexpectedly in 2011 in the survey of helminthes in the domesticated dog in Huainan area.

Key words: *Euparyphium ilocanum*; Domestic dog; Anhui Province

伊族真缘吸虫 [*Euparyphium ilocanum* (Garrison, 1903) Tubangui et Pasco, 1933] 主要寄生于哺乳动物的胃肠中,是人体寄生棘口吸虫最早发现的一种^[1]。我们于2011年在淮南市上窑镇家犬盲肠内发现了伊族真缘吸虫,现报告如下。

1 材料和方法

剖杀犬,从家犬盲肠内挑取虫体,将虫体放于生理盐水中,使其吐出肠内容物,然后用70%酒精固定,再用盐酸卡红染色法染色封片^[2],最后镜下观察其形态学特征,同时拍摄显微照片。

2 结果

采集地点:淮南市上窑镇。宿主:家犬。寄生部位:小肠。成虫标本:保存在安徽淮南安徽理工大学医学院病原生物学教研室。剖杀家犬后,从家犬盲肠内挑出3条肉红色活动的吸虫,经染色后镜下观察虫体呈长叶形,两端狭小,大小(2~6.5)mm×(1.0~1.45)mm。体表棘自头领之后开始分布至后睾丸后缘水平。头领不发达,具有头棘49~51枚,左、右腹角棘各5~6个,两侧棘各10个和背棘17~19个前后两排相互排列。口吸盘呈圆形,直径0.18mm,位于体前端亚腹面。腹吸盘呈圆形,接近体前端,直径0.40~0.46mm,是口吸盘的3~4倍。肠支向后伸展,向达虫体的末端。睾丸位于虫体后部,其中部两侧具有深凹陷,使其分成前后二叶;卵巢位于体前半部的后部;卵黄腺为粗大腺泡,前自腹吸盘与卵巢之间开始,后至虫体亚末端,均位于肠支外侧,但在虫体后1/3处与肠支重叠。子宫由前睾丸开始向上紧密盘旋,直至腹吸盘后缘(图1)。

3 讨论

伊族真缘吸虫也称为伊族棘口吸虫 [*Echinostoma*

ilocanum (Garrison, 1908) Odhner, 1911] 属于吸虫纲 (Trematoda)、复殖目 (Digenea)、棘口科 (Echinostomatidae)、真缘属 (*Euparyphium*)。该吸虫生活史中,凸旋螺 (*Gyraulus convexiuslus*)、大脐圆扁螺 (*Hippeutis umbilicalis*)、斯氏椎实螺 (*Lymnaea swinhoe var. quqdrqsi*) 等可作为第一中间宿主;凸旋螺 (*Gyraulus convexiusculus*)、椎实螺 (*Lymnaea rubiginosa brevis*)、球螺 (*Pila conica*) 和田螺 (*Viviparus japonicus*) 等可作为第二中间宿主^[1-6]。

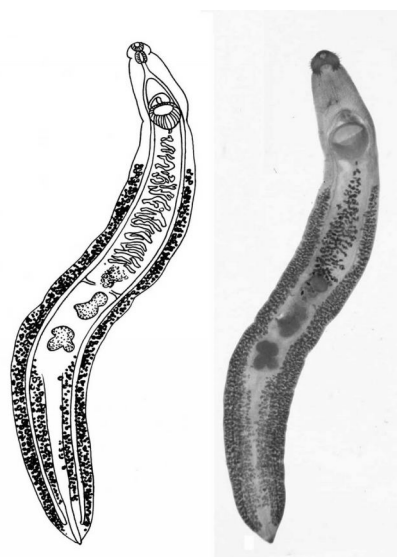


图1 伊族真缘吸虫成虫

Fig 1 *Euparyphium ilocanum*

伊族真缘吸虫主要寄生于哺乳动物,其分布于菲律宾、印度尼西亚、马来西亚、泰国和中国。据文献记载,该吸虫流行于中国的云南和广东^[3-6],但在安徽省一直未见报道。1907年,Garrison在菲律宾的吕宋岛当地人的肠中发现,并认为是食用螺类或贝类所致。

作者单位:安徽理工大学医学院,安徽淮南232001

作者简介:王克霞(1954~)女,汉族,安徽蚌埠大学,教授,研究方向:传染病学与病原学。

此后在菲律宾又报告5例人体感染病例。1933年Tubangui和Pasco研究该虫生活史后,确定为真缘属吸虫。本研究表明安徽省淮南市存在伊族真缘吸虫。淮南市居民中,是否存在伊族真缘吸虫的感染有待进一步调查。

伊族真缘吸虫与其他棘口吸虫形态相似,在鉴定过程中,应注意鉴别。伊族真缘吸虫的鉴别要点为虫体的睾丸分4~6叶,且分叶明显;卵黄腺前缘与腹吸盘相平,沿虫体两侧分布,至虫体末端。

致谢 本研究承蒙黄兵教授、李朝品教授进行标本鉴定,在此一并表示诚挚的感谢

参考文献:

- [1] Wu GL. Human parasitology[M]. Beijing: People's Medical Publishing House, 2005. (In Chinese)
(吴观陵. 人体寄生虫学[M]. 第3版. 北京: 人民卫生出版社, 2005.)
- [2] Li CP. Study on experimental techniques of Human parasitology[M]. Beijing: People's Medical Publishing House, 2008. (In Chinese)
(李朝品. 人体寄生虫学实验研究技术[M]. 北京: 人民卫生出版社,

2008.)

- [3] Shen J. The brief status of parasite and parasitosis for livestock and poultry in china[J]. Chinese Journal of Veterinary Parasitology, 2005,13(2):2. (In Chinese)
(沈杰. 中国家畜家禽寄生虫与寄生虫病概况[J]. 中国兽医寄生虫病, 2005,13(2):2.)
- [4] Tang CT, Tang ZZ. Trematology in china [M]. Fuzhou: Fujian Scientific and Technical Publishers, 2005. (In Chinese)
(唐崇惕, 唐仲璋. 中国吸虫学[M]. 福州: 福建科学技术出版社, 2005.)
- [5] Zhang JS, Gao XZ. Clinical laboratory parasitology[M]. Beijing: People's Medical Publishing House, 2009.
(张进顺, 高兴政. 临床寄生虫检验学[M]. 北京: 人民卫生出版社, 2009.)
- [6] Li CP, Gao XZ. Yixue Jishengchong Tujian[M]. Beijing: People's Medical Publishing House, 2012. (In Chinese)
(李朝品, 高兴政. 医学寄生虫图鉴[M]. 北京: 人民卫生出版社, 2012.)

收稿日期 2012-06-25 编辑 谢永慧

(上接第1248页)

本研究显示, MMP-2及uPA的阳性表达率大肠癌组织明显高于癌旁正常组织, 大肠癌的临床分期、肿瘤浸润深度、淋巴结转移与MMP-2及uPA的高表达有关, MMP-2与uPA的表达在大肠癌组织中呈正相关, 这也证明了uPA可能激活MMP加强对细胞外基质的降解, 促进肿瘤的侵袭, 其机制有待进一步探讨。在临床实践中, 二者联合检测可作为判断结肠癌发展及预后的指标。

参考文献:

- [1] Tang Yi, Kesavan P, Marian T. Tumor-Stroma Interaction: Positive Feedback Regulation of Extracellular Matrix Metalloproteinase Inducer (EMMPRIN) Expression and Matrix Metalloproteinase-Dependent Generation of Soluble EMMPRIN Molecular[J]. Cancer Res 2004;2:7380.
- [2] Sier Cornelis FM, Zuidwijk K, Zijlmans HJMAA, et al. EMMPRIN-induced MMP-2 activation cascade in human cervical squamous cell carcinoma[J]. Int J Cancer, 2006;118:2991-2998.
- [3] Egeblad M, Werb Z. New functions for the matrix metalloproteinases in

cancer progression[J]. Nat Rev Cancer 2002;2:161-174.

- [4] Sheu BC, Lien HC, Ho HN, et al. Increased expression and activation of gelatinolytic matrix metalloproteinases is associated with the progression and recurrence of human cervical cancer[J]. Cancer Res, 2003; 63:6537-6542.
- [5] Kato Y, Yamashita T, Ishikawa M. Relationship between expression of matrix metalloproteinase-2 and matrix metalloproteinase-9 and invasion ability of cervical cancer cells[J]. Oncol Rep, 2002;9:565-569.
- [6] Mira E, Lacalle RA, Buesa JM, et al. Secreted MMP9 promotes angiogenesis more efficiently than constitutive active MMP9 bound to the tumor cell surface [J]. Cell Sci, 2004;117: 1847-1856.
- [7] Carriero MV, Franco P, Vocca I, et al. Structure, function and antagonists of urokinase-type plasminogen activator[J]. Frontiers in Bioscience, 2009,14:3782-3794.
- [8] Lilja H, Vickers A, Scardino P, et al. Measurements of proteases system components in blood to enhance prediction of disease risk or outcome in possible cancer[J]. Clin Oncol, 2007;25:347-348.

收稿日期 2012-01-17 编辑 吴中菲